

OHDSI内では、実名での活動になります。
Zoom参加時も「名前は実氏名で」お願いします。



OHDSI
OBSERVATIONAL HEALTH DATA SCIENCES AND INFORMATICS

オデッセイ
ジャパン

OHDSI Japan evening conference #46

イブニングカンファレンス(第46回)

2023.9.29



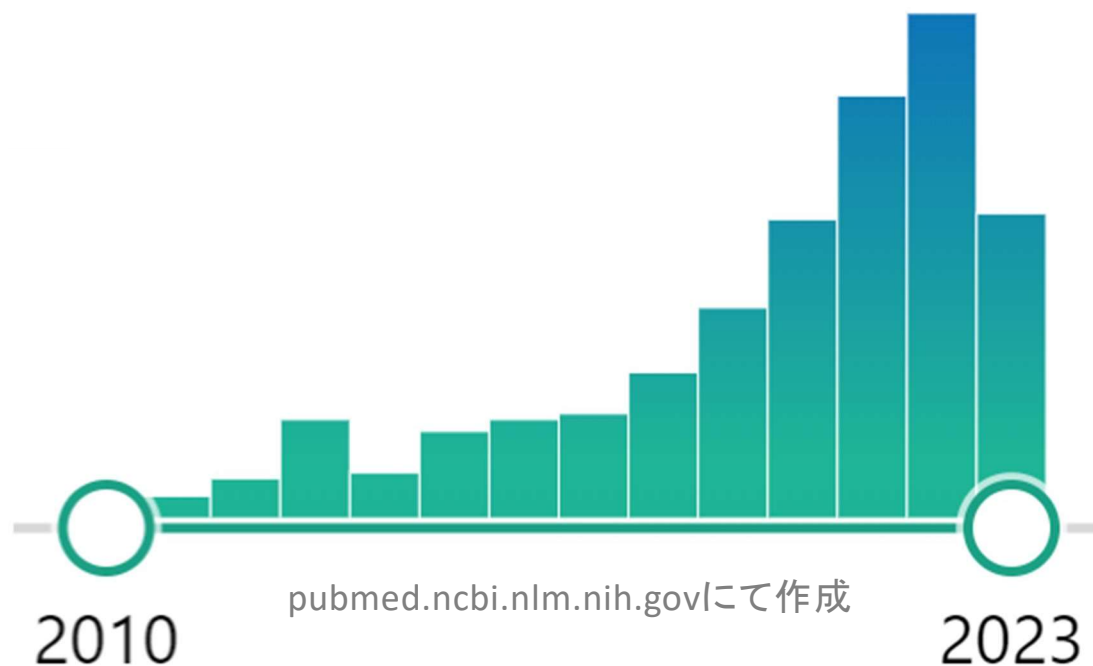
本日の内容

- OHDSI関連論文紹介
- 今月のOHDSI Community Call
- 中間形式からOMOP CDMへ#2
(さほひめVocab 傷病名編)



OHDSI関連論文

Pubmedで“OHDSI or OMOP”を検索



全期間累計：8月356本→9月362本



ドイツがん登録データはOMOP化できるか？

➤ [Cancers \(Basel\)](#). 2023 Aug 11;15(16):4059. doi: 10.3390/cancers15164059.

Mapping the Oncological Basis Dataset to the Standardized Vocabularies of a Common Data Model: A Feasibility Study

Jasmin Carus ^{1 2 3}, Leona Trübe ¹, Philip Szczepanski ², Sylvia Nürnberg ¹, Hanna Hees ¹, Stefan Bartels ³, Alice Nennecke ², Frank Ückert ¹, Christopher Gundler ¹

Affiliations – collapse

Affiliations

- 1 Institute for Applied Medical Informatics, University Medical Center Hamburg-Eppendorf, 20251 Hamburg, Germany.
- 2 Hamburg Cancer Registry, Authority for Science, Research, Equality, and Districts, 20097 Hamburg, Germany.
- 3 University Cancer Center Hamburg, University Medical Center Hamburg-Eppendorf, 20251 Hamburg, Germany.

Abstract

In their joint effort against cancer, all involved parties within the German healthcare system are obligated to report diagnostics, treatments, progression, and follow-up information for tumor patients to the respective cancer registries. Given the federal structure of Germany, the oncological basis dataset (oBDS) operates as the legally required national standard for oncological reporting. Unfortunately, the usage of various documentation software solutions leads to semantic and technical heterogeneity of the data, complicating the establishment of research networks and collective data analysis. Within this feasibility study, we evaluated the transferability of all oBDS characteristics to the standardized vocabularies, a metadata repository of the observational medical outcomes partnership (OMOP) common data model (CDM). A total of 17,844 oBDS expressions were mapped automatically or manually to standardized concepts of the OMOP CDM. In a second step, we converted real patient data retrieved from the Hamburg Cancer Registry to the new terminologies. Given our pipeline, we transformed 1773.373 cancer-related data elements to the OMOP CDM. The mapping of the oBDS to the standardized vocabularies of the OMOP CDM promotes the semantic interoperability of oncological data in Germany. Moreover, it allows the participation in network studies of the observational health data sciences and informatics under the usage of federated analysis beyond the level of individual countries.

概要

がんに対する共同の取り組みにおいて、ドイツの医療システム内のすべての関係者は、腫瘍患者の診断、治療、進行、フォローアップ情報をそれぞれの**がん登録に報告する義務**を負っている。ドイツの連邦制を考慮すると、腫瘍学的基礎データセット（oBDS）は、腫瘍学的報告のための法的に要求される国家標準として運用されている。**残念ながら、様々な文書化ソフトウェアソリューションの使用は、データの意味的・技術的異質性をもたらし**、研究ネットワークの構築や集団的データ解析を複雑にしている。このフィージビリティスタディの中で、我々はすべてのoBDSの特徴を、OMOP CDMのメタデータリポジトリである標準化されたボキャブラリーへの移行可能性を評価した。合計17,844のoBDS表現がOMOP CDMの標準化された概念に自動または手動でマッピングされた。第二段階として、Hamburg Cancer Registryから取得した実際の患者データを新しい用語集に変換した。我々のパイプラインにより、1,773,373のがん関連データ要素をOMOP CDMに変換した。oBDSをOMOP CDMの標準化された語彙にマッピングすることで、ドイツにおける腫瘍学的データのセマンティックな相互運用性が促進される。さらに、個々の国のレベルを超えた連合分析の利用により、観察的健康データ科学とインフォマティクスのネットワーク研究への参加を可能にする。

注：2014年のoBDSの導入とXMLインターフェイスの実装により、構文上の相互運用性がすでに確立されているにもかかわらず、TristanやGiessener Tumor Documentation System (GTDS)など、報告機関全体で異なる文書作成ソフトウェアソリューションを使用しているため、意味的および技術的な異質性が生じている。



ETLにKNIMEを使いました

› Stud Health Technol Inform. 2023 Sep 12;307:258-266. doi: 10.3233/SHTI230723.

Design and Implementation of an ETL-Process to Transfer Wound-Related Data into a Standardized Common Data Model

Mareike Przysucha ¹, Jens Hüsters ¹, Daniil Liberman ², Oliver Kersten ², Aphrodite Schlüter ², Sebastian Fraas ², Dorothee Busch ³, Maurice Moelleken ⁴, Cornelia Erfurt-Berge ³, Joachim Dissemond ⁴, Ursula Hübner ¹

Affiliations – collapse

Affiliations

- 1 Health Informatics Research Group, Osnabrück University of AS, Germany.
- 2 apenio GmbH & Co. KG, Germany.
- 3 Department of Dermatology, Uniklinikum Erlangen, Friedrich-Alexander University Erlangen-Nürnberg (FAU), Erlangen, Germany.
- 4 Department of Dermatology, Venerology and Allergology, University Hospital of Essen, Germany.

Abstract

For observational studies, which are relevant especially for chronic conditions like chronic wounds, the Observational Medical Outcomes Partnership (OMOP) Common Data Model (CDM) offers a standardized database schema. In this study an ETL process for the transition of wound related data was developed. After understanding the data in general and mapping the relevant codes to concepts available in OMOP, the ETL process was implemented. In a first step, a generic algorithm to convert data to a csv format was implemented in Java. The resulting csv file was then processed within KNIME to be loaded into an OMOP CDM conformant database. During the whole ETL process, HL7 FHIR CodeSystem and ConceptMap resources were used for coding and mapping. First clinical test cases to retrieve data were successfully processed as an example to demonstrate the feasibility and usefulness. They concerned wound size at the first visit and the main issues of patients in the wound quality of life questionnaire (n = 24). In general, the ETL process worked well, yet some challenges arose, like post coordinated SNOMED codes or conditions, which might occur more than once.

概要

特に慢性創傷のような慢性疾患に関連する観察研究では、OMOP CDMが標準化されたデータベーススキーマを提供している。本研究では、創傷関連データの移行のためのETLプロセスを開発した。データ全般を理解し、関連するコードをOMOPで利用可能な概念にマッピングした後、ETLプロセスを実施した。第一段階として、データをcsv形式に変換する汎用アルゴリズムをJavaで実装した。得られた csv ファイルはKNIME 内で処理され、OMOP CDM 準拠データベースにロードされた。ETL プロセス全体において、HL7 FHIR CodeSystem と ConceptMap リソースがコーディングとマッピングに使用された。データ取得のための最初の臨床テストケースは、実現可能性と有用性を実証する例として処理に成功した。このテストケースは初診時の創傷の大きさと、創傷QOLアンケート (n=24) における患者の主な問題に関するものであった。一般的に、ETLプロセスはうまく機能したが、SNOMEDコードや病態の調整後など、複数回発生する可能性のある課題も発生した。



Usagiの性能は？

➤ [Int J Med Inform. 2023 Aug 29;178:105200. doi: 10.1016/j.ijmedinf.2023.105200.](#)
Online ahead of print.

Determining and assessing characteristics of data element names impacting the performance of annotation using Usagi

Rowdy de Groot¹, Daniel P Püttmann², Lucas M Fleuren³, Patrick J Thorat³, Paul W G Elbers³,
Nicolette F de Keizer², Ronald Cornet²; Dutch ICU Data Sharing Against COVID-19 Collaborators

PMID: 37703800 DOI: [10.1016/j.ijmedinf.2023.105200](#)

Affiliations

- 1 Amsterdam UMC Location University of Amsterdam, Department of Medical Informatics, Amsterdam, the Netherlands. Electronic address: rowdy.degroot@amsterdamumc.nl.
- 2 Amsterdam UMC Location University of Amsterdam, Department of Medical Informatics, Amsterdam, the Netherlands.
- 3 Department of Intensive Care Medicine, Center for Critical Care Computation Intelligence (C4i), Amsterdam Medical Data Science (AMDS), Amsterdam Public Health (APH), Amsterdam Cardiovascular Science (ACS), Amsterdam Institute for Infection and Immunity (AII), Amsterdam UMC, Vrije Universiteit, Amsterdam, the Netherlands.

Abstract

Introduction: Hospitals generate large amounts of data and this data is generally modeled and labeled in a proprietary way, hampering its exchange and integration. Manually annotating data element names to internationally standardized data element identifiers is a time-consuming effort. Tools can support performing this task automatically. This study aimed to determine what factors influence the quality of automatic annotations.

Methods: Data element names were used from the Dutch COVID-19 ICU Data Warehouse containing data on intensive care patients with COVID-19 from 25 hospitals in the Netherlands. In this data warehouse, the data had been merged using a proprietary terminology system while also storing the original hospital labels (synonymous names). Usagi, an OHDSI annotation tool, was used to perform the annotation for the data. A gold standard was used to determine if Usagi made correct annotations. Logistic regression was used to determine if the number of characters, number of words, match score (Usagi's certainty) and hospital label origin influenced Usagi's performance to annotate correctly.

Results: Usagi automatically annotated 30.5% of the data element names correctly and 5.5% of the synonymous names. The match score is the best predictor for Usagi finding the correct annotation. It was determined that the AUC of data element names was 0.651 and 0.752 for the synonymous names respectively. The AUC for the individual hospital label origins varied between 0.460 to 0.905.

Discussion: The results show that Usagi performed better to annotate the data element names than the synonymous names. The hospital origin in the synonymous names dataset was associated with the amount of correctly annotated concepts. Hospitals that performed better had shorter synonymous names and fewer words. Using shorter data element names or synonymous names should be considered to optimize the automatic annotating process. Overall, the performance of Usagi is too poor to completely rely on for automatic annotation.

概要

はじめに: 病院は大量のデータを生成するが、これらのデータは一般に独自の方法でモデル化され、ラベル付けされているため、その交換や統合が妨げられている。データ要素名を国際的に標準化されたデータ要素識別子に手動でアノテーションするのは時間のかかる作業である。ツールはこの作業を自動的に行うことをサポートする。本研究では、自動アノテーションの品質にどのような要因が影響するかを明らかにすることを目的とした。

方法: オランダの25病院のCOVID-19集中治療患者に関するデータを含むDutch COVID-19 ICU Data Warehouseのデータ要素名を使用した。このデータウェアハウスでは、オリジナルの病院ラベル（同義名）も保存されながら、独自の用語システムを使用してデータが統合されていた。OHDSIアノテーションツールであるUsagiを使用して、データのアノテーションを行った。Usagiが正しいアノテーションを行ったかどうかを判断するためにゴールドスタンダードを使用した。ロジスティック回帰を用いて、文字数、単語数、マッチスコア（Usagiの確信度）、病院ラベルの由来が、Usagiの正しいアノテーションのパフォーマンスに影響するかどうかを決定した。

結果: Usagiはデータ要素名の30.5%、同義語の5.5%を自動的に正しくアノテーションした。一致スコアは、Usagiが正しいアノテーションを見つけるための最良の予測因子である。データ要素名のAUCはそれぞれ0.651と0.752であった。個々の病院ラベルの起源のAUCは0.460から0.905の間で変動した。

考察: 結果は、Usagiが同義名よりもデータ要素名のアノテーションに優れたパフォーマンスを示したことを示している。同義名データセットにおける病院由来は、正しくアノテーションされた概念の量と関連していた。より良いパフォーマンスを示した病院は、同義語名が短く、単語数が少なかった。自動アノテーションプロセスを最適化するために、より短いデータ要素名または同義語名を使用することを考慮すべきである。全体として、Usagiの性能は自動アノテーションに完全に依存するには低すぎる。

（本文より参考情報）

データ要素名については、Usagiは正しい概念に完全に自動的に注釈を付けるという点でパフォーマンスが悪く（上位1件の30.5%）、同義名についてはさらに悪い（5.5%）。ただし、Usagiは、データ要素名の67.5%のケースで、候補リストの上位20位に正しい概念を示します。これは、67.5%の確率でスクロールすることなく、ユーザーに正しいコンセプトが表示されることを意味します。したがって、Usagiを使用すると、手動でプロセスを実行する場合に比べて、アノテーションプロセスの効率が向上します。



OMOPでsentinel的なことを実施してみました

➤ [Pharmacoepidemiol Drug Saf. 2023 Sep 14. doi: 10.1002/pds.5694. Online ahead of print.](#)

MetaLAB-HOI: Template standardization of health outcomes enable massive and accurate detection of adverse drug reactions from electronic health records

PMID: 37710363 DOI: [10.1002/pds.5694](#)

Suehyun Lee ¹, Hyunah Shin ², Seon Choe ³, Min-Gyu Kang ⁴, Sae-Hoon Kim ⁵, Dong Yoon Kang ⁶,
Ju Han Kim ³

Affiliations

- 1 Department of Computer Engineering, Gachon University, Seongnam, Republic of Korea.
- 2 Healthcare Data Science Center, Konyang University Hospital, Daejeon, Republic of Korea.
- 3 Seoul National University Biomedical Informatics (SNUBI), Division of Biomedical Informatics, Seoul National University College of Medicine, Seoul, Republic of Korea.
- 4 Department of Internal Medicine, Subdivision of Allergy, Chungbuk National University Hospital and Chungbuk National College of Medicine, Cheongju, Republic of Korea.
- 5 Department of Internal Medicine, Seoul National University Bundang Hospital, Seongnam, Republic of Korea.
- 6 Department of Preventive Medicine, Ulsan University Hospital, Ulsan, Republic of Korea.

Abstract

Purpose: This study aimed to advance the MetaLAB algorithm and verify its performance with multicenter data to effectively detect major adverse drug reactions (ADRs), including drug-induced liver injury.

Methods: Based on MetaLAB, we created an optimal scenario for detecting ADRs by considering demographic and clinical records. MetaLAB-HOI was developed to identify ADR signals using common model-based multicenter electronic health record (EHR) data from the clinical health outcomes of interest (HOI) template and design for drug-exposed and nonexposed groups. In this study, we calculated the odds ratio of 101 drugs for HOI in Konyang University Hospital, Seoul National University Hospital, Chungbuk National University Hospital, and Seoul National University Bundang Hospital.

Results: The overlapping drugs in four medical centers are amlodipine, aspirin, bisoprolol, carvedilol, clopidogrel, clozapine, digoxin, diltiazem, methotrexate, and rosuvastatin. We developed MetaLAB-HOI, an algorithm that can detect ADRs more efficiently using EHR. We compared the detection results of four medical centers, with drug-induced liver injuries as representative ADRs.

Conclusions: MetaLAB-HOI's strength lies in fully utilizing the patient's clinical information, such as prescription, procedure, and laboratory results, to detect ADR signals. Considering changes in the patient's condition over time, we created an algorithm based on a scenario that accounted for each drug exposure and onset period supervised by specialists for HOI. We determined that when a template capable of detecting ADR based on clinical evidence is developed and manualized, it can be applied in medical centers for new drugs with insufficient data.

概要

目的: 本研究は、薬剤性肝障害を含む主要な副作用（ADR）を効果的に検出するために、MetaLABアルゴリズムを発展させ、その性能を多施設データを用いて検証することを目的とした。

方法: MetaLABに基づき、人口統計学的記録と臨床記録を考慮してADRを検出するための最適なシナリオを作成した。MetaLAB-HOIは、薬物曝露群と非曝露群について、臨床上の健康転帰（HOI）テンプレートとデザインから、共通のモデルに基づく多施設の電子カルテ（EHR）データを用いてADRシグナルを同定するために開発された。本研究では、コンヤン大学病院、ソウル大学病院、忠北大学病院、ソウル大学盆唐病院において、**101薬剤のHOIに対するオッズ比を算出した。**

結果: 4つの医療センターで重複した薬剤は、アムロジピン、アスピリン、ビソプロロール、カルベジロール、クロピドグレル、クロザピン、ジゴキシシン、ジルチアゼム、メトトレキサート、ロスバスタチンであった。我々は、EHRを用いてより効率的にADRを検出できるアルゴリズムであるMetaLAB-HOIを開発した。薬剤性肝障害を代表的なADRとして、4つの医療施設の検出結果を比較した。

結論: MetaLAB-HOIの強みは、処方、処置、検査結果などの患者の臨床情報を十分に活用してADRシグナルを検出することにある。経時的な患者の状態の変化を考慮し、HOIの専門家が監修した各薬物曝露と発症期間を考慮したシナリオに基づくアルゴリズムを作成した。臨床エビデンスに基づいてADRを検出できるテンプレートを開発し、マニュアル化することで、データ不足の新薬に対しても医療現場で適用できると判断した。



> Clin Epidemiol. 2023 Sep 13;15:969-986. doi: 10.2147/CLEP.S419481. eCollection 2023.

Transforming the Information System for Research in Primary Care (SIDIAP) in Catalonia to the OMOP Common Data Model and Its Use for COVID-19 Research

PMID: 37724311 PMCID: PMC10505380

Berta Raventós ^{# 1 2}, Sergio Fernández-Bertolín ^{# 1}, María Aragón ¹, Erica A Voss ^{3 4 5},
Clair Blacketer ^{3 4 5}, Leonardo Méndez-Boo ⁶, Martina Recalde ¹, Elena Roel ^{1 2},
Andrea Pistillo ^{1 7}, Carlen Reyes ¹, Sebastiaan van Sandijk ⁸, Lars Halvorsen ⁹, Peter R Rijnbeek ^{4 5},
Edward Burn ^{1 10}, Talita Duarte-Salles ^{1 4}

Affiliations

- 1 Fundació Institut Universitari per a la recerca a l'Atenció Primària de Salut Jordi Gol i Gurina (IDIAPJGol), Barcelona, Spain.
 - 2 Universitat Autònoma de Barcelona, Bellaterra (Cerdanyola del Vallès), Barcelona, Spain.
 - 3 Janssen Pharmaceutical Research and Development, Titusville, NJ, USA.
 - 4 Department of Medical Informatics, Erasmus University Medical Center, Rotterdam, the Netherlands.
 - 5 OHDSI Collaborators, Observational Health Data Sciences and Informatics (OHDSI), New York, NY, USA.
 - 6 Sistemes d'Informació dels Serveis d'Atenció Primària (SISAP), Institut Català de la Salut, Barcelona, Spain.
 - 7 Universitat Pompeu Fabra, Barcelona, Spain.
 - 8 Odysseus Data Services s.r.o., Prague, Czech Republic.
 - 9 edenceHealth NV, Kontich, Belgium.
 - 10 Centre for Statistics in Medicine, University of Oxford, Oxford, UK.
- # Contributed equally.

Abstract

Purpose: The primary aim of this work was to convert the Information System for Research in Primary Care (SIDIAP) from Catalonia, Spain, to the Observational Medical Outcomes Partnership (OMOP) Common Data Model (CDM). Our second aim was to provide a descriptive analysis of COVID-19-related outcomes among the general population.

Patients and methods: We mapped patient-level data from SIDIAP to the OMOP CDM and we performed more than 3,400 data quality checks to assess its readiness for research. We established a general population cohort as of the 1st March 2020 and identified outpatient COVID-19 diagnoses or tested positive for, hospitalised with, admitted to intensive care units (ICU) with, died with, or vaccinated against COVID-19 up to 30th June 2022.

Results: After verifying the high quality of the transformed dataset, we included 5,870,274 individuals in the general population cohort. Of those, 604,472 had either an outpatient COVID-19 diagnosis or positive test result, 58,991 had a hospitalisation, 5,642 had an ICU admission, and 11,233 died with COVID-19. A total of 4,584,515 received a COVID-19 vaccine. People who were hospitalised or died were more commonly older, male, and with more comorbidities. Those admitted to ICU with COVID-19 were generally younger and more often male than those hospitalised and those who died.

Conclusion: We successfully transformed SIDIAP to the OMOP CDM. From this dataset, a general population cohort of 5.9 million individuals was identified and their COVID-19-related outcomes over time were described. The transformed SIDIAP database is a valuable resource that can enable distributed network research in COVID-19 and beyond.

概要

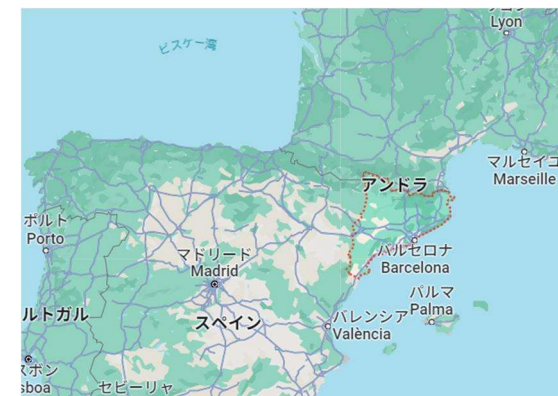
目的: 本研究の第一の目的は、スペイン・カタルーニャ地方のプライマリケア研究情報システム (SIDIAP) をOMOP CDMに変換することであった。第二の目的は、一般集団におけるCOVID-19関連の転帰の記述的解析を行うことであった。

患者と方法: SIDIAPの患者レベルデータをOMOP CDMにマッピングし、3,400以上のデータ品質チェックを行い、研究への適合性を評価した。2020年3月1日時点で一般集団コホートを構築し、2022年6月30日までに外来でCOVID-19と診断されたか、陽性と判定されたか、COVID-19で入院したか、集中治療室 (ICU) に入室したか、COVID-19で死亡したか、COVID-19のワクチン接種を受けたかを確認した。

結果: 変換されたデータセットの質の高さを確認した後、5,870,274人を一般集団コホートに含めた。そのうち604,472人が外来でCOVID-19と診断されたか検査結果が陽性であり、58,991人が入院、5,642人がICU入室、11,233人がCOVID-19で死亡した。合計4,584,515人がCOVID-19ワクチンの接種を受けた。入院または死亡した人は、高齢、男性、合併症が多かった。COVID-19でICUに入院した人は、入院した人や死亡した人よりも一般的に若く、男性が多かった。

結論: 我々はSIDIAPをOMOP CDMに変換することに成功した。このデータセットから590万人の一般集団コホートが同定され、経時的なCOVID-19関連の転帰が記述された。変換されたSIDIAPデータベースは、COVID-19およびそれ以降の分散ネットワーク研究を可能にする貴重なリソースである。

私たちは、カタルーニャ州の 800 万人以上の人口を対象とする全国民のプライマリ ケア電子医療記録 (EHR) のデータベースである SIDIAP を抽出し、OMOP CDM に変換しました。





今月のCommunity Call

- APAC Call テーマ

Sept. 21 Training Session #5 Multiple Sclerosis

- Characterization: incidence of progressive multifocal leukoencephalopathy (PML) during MS biologic exposure
- Treatment, utilisation and safety of medicines for MS

- Global Community Call テーマ

Aug. 29 Update on OHDSI Standardized Vocabularies

Sept. 5 DARWIN EU Progress and Roadmap

Sept. 12 OHDSI 2023 Global Symposium Preview

Sept. 19 Journal Club:

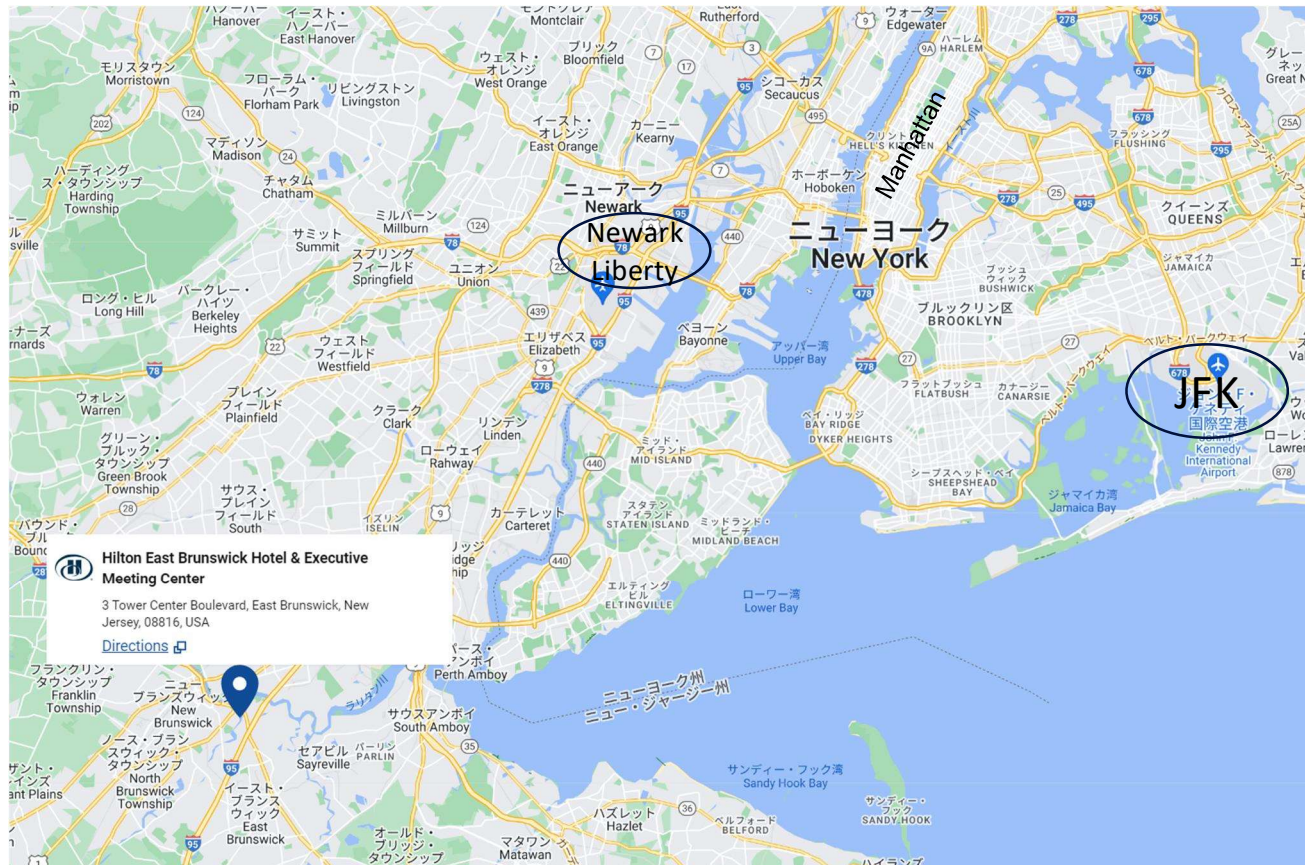
11th Revision of the ENCePP Guide on Methodological Standards in Pharmacoepidemiology



2023 OHDSI Global Symposium

- 日程 10月20～22日
- 場所 Hilton East Brunswick Hotel & Executive Meeting Center
(East Brunswick, New Jersey, USA)

<https://ohdsi.org/ohdsi2023/>





中間形式からOMOP CDMへ# 2

さほひめボキャブラリ(傷病名編)

背景・目的

- さほひめの病名は、レセ電コードで付いている。
- ICD10もついている。
- OMOP標準Concept IDへ変換(マッピング)したい。
- ICD10からOMOP標準への変換表はAthenaにある。
- ICD10は粒度が低く、適切には変換できないこともある。

	1	2	3	4	5	6
1	患者ID	病名	開始日	終了日	レセ電コード	ICD10
2	1	前十字靭帯損傷	1981-08-10	1981-09-16	8442010	S835
3	1	脳振盪	2008-05-18	2008-07-17	8500003	S060
4	1	ウイルス性咽頭炎	1971-01-24	1971-02-02	8830746	J028
5	1	ウイルス性咽頭炎	2017-05-12	2017-05-20	8830746	J028
6	1	連鎖球菌性咽頭炎	1953-02-06	1953-02-16	8841186	J020
7	1	ウイルス性咽頭炎	2010-02-14	2010-02-20	8830746	J028



さほひめ病名マッピング手法

STEP1. 病名の一覧(重複なし)を作成する。

STEP2. マッピングする。

A案 (ICD10の活用)

- まずICD10からOMOP標準へ変換する (Athena利用)。
- 適切な変換でないと思われるときには、病名の英語翻訳からAthena検索で人力で変換する。

まずA案でやってみた。

→ICD10は半数ぐらい当てにならず、結局大部分で人力確認が必要。

B案 (英語翻訳名をUsagiで)

- Google翻訳等で病名を英語翻訳する。
- Usagiを使って自動マッピングをする。
- Usagiでは正しいものを選択できたかわからないので、Excelに戻して、Scoreが低いものはAthena検索で人力で確認・変換する。

病名一覧 (76病名)

回数	ICD10	レセ電	名称
102	D649	2859011	貧血
31	E039	8833504	甲状腺機能低下症
253	F900	3073008	注意欠陥多動障害
117	G309	3310002	アルツハイマー病
19	G309	8842308	家族性アルツハイマー病
30	G409	3459001	てんかん
3	G838	3441013	脊髄麻痺
3605	H669	3829010	中耳炎
67	I219	8834919	心筋梗塞
191	I251	4140008	冠状動脈硬化症
138	I469	4275002	心停止
127	I489	4272006	心房細動

⇒B案で進める



やってみよう

Usagi - Map1.csv

File Edit View Help

Status	Source c...	Source term	Jname	Match s...	Frequ...	Concep...	Concept name	Domain	Conce...	Vocabu...	Conce...	Stand...	Parents	Children	Assig...	Equiva...	Com...	Statu...
Uncheck...	8420004	Wrist sprain	...	1.00		78272	Sprain of wrist	Condi...	Clinica...	SNOM...	70704...	S	3	10				
Uncheck...	8837221	First degree burns	...	0.85		135429	Epidermal burn of toe	Condi...	Clinica...	SNOM...	68628...	S	2	1				
Uncheck...	4920017	Emphysema	...	0.74		4050734	Scar emphysema	Condi...	Clinica...	SNOM...	23367...	S	1	0				
Uncheck...	4273006	Atrial fibrillation	...	1.00		313217	Atrial fibrillation	Condi...	Clinica...	SNOM...	49436...	S	3	12				
Uncheck...	3459009	Epileptiform seizures	...	0.83		4197485	Epileptic seizure	Condi...	Clinica...	SNOM...	31330...	S	1	7				
Uncheck...	8442010	Anterior cruciate ligament injury	...	0.92		404797...	Injury of anterior cruc...	Condi...	Clinica...	SNOM...	44447...	S	1	3				
Uncheck...	8837239	Second degree burns	...	0.92		4296205	Partial thickness burn	Condi...	Clinica...	SNOM...	40319...	S	1	7				
Uncheck...	8841513	Femoral tear	...	0.59		4106999	Laceration of anus	Condi...	Clinica...	SNOM...	28207...	S	2	1				
Uncheck...	8841604	Facial laceration	...	1.00		4156265	Facial laceration	Condi...	Clinica...	SNOM...	37024...	S	2	13				
Uncheck...	8834290	Toe contusion	...	0.91		441737	Contusion	Condi...	Clinica...	SNOM...	12566...	S	1	23				
Uncheck...	8837248	Third degree burns	...	0.92		4299128	Full thickness burn	Condi...	Clinica...	SNOM...	40319...	S	5	24				
Uncheck...	8210002	Femur fracture	...	0.78		442560	Fracture of femur	Condi...	Clinica...	SNOM...	71620...	S	2	14				
Uncheck...	4270006	Cerebrovascular disorder	...	0.99		204504	Cerebrovascular dis...	Condi...	Clinica...	SNOM...	62044...	S	1	04				

Source code

Source code	Source term	Frequency	Jname
8420004	Wrist sprain	-1	...

Target concepts

Concept ID	Concept name	Domain	Concept class	Vocabulary	Concept code	Standard concept	Parents	Children	Mapping Type	Creation Provena...
78272	Sprain of wrist	Condition	Clinical Finding	SNOMED	70704007	S	3	10	MAPS_TO	<auto> (2023-09-...

MAPS_TO

Remove concept

Search

Query

Use source term

Query:

Filters

Filter by user selected concepts / ATC code

Filter by concept class:

Filter standard concepts

Filter by vocabulary:

Include source terms

Filter by domain:

Results

Score	Term	Concept ID	Concept name	Domain	Concept class	Vocabulary	Concept code	Standard concept	Parents	Children
1.00	Wrist sprain	78272	Sprain of wrist	Condition	Clinical Finding	SNOMED	70704007	S	3	10
0.70	Sprain of left wrist	760783	Sprain of left wrist	Condition	Clinical Finding	SNOMED	1180301100011...	S	9	0
0.70	Sprain	4298490	Sprain	Observation	Morph Abnormality	SNOMED	384709000	S	1	0
0.69	Sprain of right wri...	760784	Sprain of right wri...	Condition	Clinical Finding	SNOMED	1180305100011...	S	9	0
0.69	Toe sprain	78586	Sprain of interph...	Condition	Clinical Finding	SNOMED	24864009	S	4	2
0.68	Sprain of wrist an...	4018956	Sprain of wrist an...	Condition	Clinical Finding	SNOMED	209436000	S	1	2
0.63	Hand sprain	73045	Sprain of hand	Condition	Clinical Finding	SNOMED	87778004	S	2	5
0.63	Thigh sprain	441701	Sprain of hip	Condition	Clinical Finding	SNOMED	17883008	S	2	2
0.62	Knee sprain	4207505	Sprain of knee	Condition	Clinical Finding	SNOMED	54888009	S	2	3
0.62	Wrist	41983082	Wrist	Geography	8th level	OSM	450517	S	1	0
0.62	Wrist	4220073	Wrist region stru...	Spec Anatomic S...	Body Structure	SNOMED	8205005	S	2	12

MAPS_TO

Replace concept

Add concept

Comment:

Flag EQUAL Approve

Approved / total: 0 / 76 0.0% of total frequency

Author: Vocabulary version: v5.0 31-AUG-23



やってみよう

回数	ICD10	レセ電	名称	English	conceptId	conceptName	matchScore	手動修正	
499	S711	8841513	大腿裂創	Femoral tear	4106999	Laceration of anus	0.59	Laceration of thigh	4152936
77	M809	8844209	骨粗鬆症・病的骨折あり	Osteoporosis/pathological fracture	4003483	Osteoporosis of disuse with pathologi	0.62		
77	J439	4920017	肺気腫	Emphysema	4050734	Scar emphysema	0.74	Pulmonary emphyse	261325
83	S832	7180006	半月板損傷	Meniscal injury	4172855	Injury of anus	0.74	Tear of meniscus of l	4035415
113	S834	8849117	膝関節内側副靭帯損傷	Knee joint medial collateral ligament ir	40479422	Injury of medial collateral ligament of	0.75		
80	S761	8442005	膝蓋靭帯断裂	Patellar ligament tear	4138286	Ligament rupture	0.76	Rupture of patellar te	4149245
500	S619	8837888	手開放創	Open hand wound	4129405	Open wound of hand	0.76		
17268	J111	8830727	インフルエンザ性副鼻腔炎	Influenza sinusitis	4266367	Influenza	0.77	Viral sinusitis	40481087
405	K579	5621018	腸憩室	Intestinal diverticulum	4245903	Congenital diverticulum of intestinal t	0.78	Diverticula of intestir	4272162
138	S7290	8210002	大腿骨骨折	Femur fracture	442560	Fracture of femur	0.78		
380	K635	2113008	大腸ポリープ	Colon polyp	4285898	Polyp of colon	0.79		
26	T08-0	8058007	椎体骨折	Vertebral fracture	4174520	Fracture of vertebral column	0.8		
48	J448	8849096	気腫型慢性閉塞性気管支炎	Emphysematous chronic obstructive br	258780	Emphysematous bronchitis	0.81	Chronic obstructive l	255573
27	S069	9519002	脳損傷	Brain injury	4016540	Focal brain injury	0.82	Traumatic or nontrau	4133611
79	R568	3459009	てんかん様発作	Epileptiform seizures	4197485	Epileptic seizure	0.83	Seizure disorder	4029498
1348	S060	8500003	脳振盪	Concussion	4001336	Concussion injury of brain	0.83		
492	S4200	8100003	鎖骨骨折	Clavicle fracture	4237458	Fracture of clavicle	0.84		
507	S519	8841609	前腕裂創	Forearm laceration	37108685	Laceration of left forearm	0.84	Laceration of forearr	4155034
266	S460	8831343	肩腱板損傷	Rotator cuff injury	36713625	Injury of rotator cuff	0.85		
384	T301	8837221	第1度熱傷	First degree burns	135429	Epidermal burn of toe	0.85	First degree burn inj	4298699
493	S630	8834558	手関節亜脱臼	Wrist subluxation	3654437	Subluxation of wrist	0.87		
224	I679	4379006	脳血管障害	Cerebrovascular disorder	381591	Cerebrovascular disease	0.88		
388	K558	8848140	小腸血管形成異常	Small intestinal angiodysplasia	36715881	Angiodysplasia of small intestine	0.88		
35	K802	8837169	胆のう結石症	Gallbladder stone disease	192353	Disorder of gallbladder	0.89	Gallstone	196456
484	S901	8834290	趾挫傷	Toe contusion	441737	Contusion	0.91	Contusion of toe	74816
19	G309	8842308	家族性アルツハイマー病	Familial Alzheimer's disease	4043243	Familial Alzheimer's disease of late o	0.91	Alzheimer's disease	378419
80	S835	8442010	前十字靭帯損傷	Anterior cruciate ligament injury	40479768	Injury of anterior cruciate ligament	0.92		
229	T302	8837239	第2度熱傷	Second degree burns	4296205	Partial thickness burn	0.92	Second degree burn	4263187
24	T303	8837248	第3度熱傷	Third degree burns	4299128	Full thickness burn	0.92	Third degree burn inj	4213471
33	N390	8839047	反復性尿路感染症	Recurrent urinary tract infections	4056621	Recurrent urinary tract infection	0.98		
102	D649	2859011	貧血	Anemia	439777	Anemia	1		